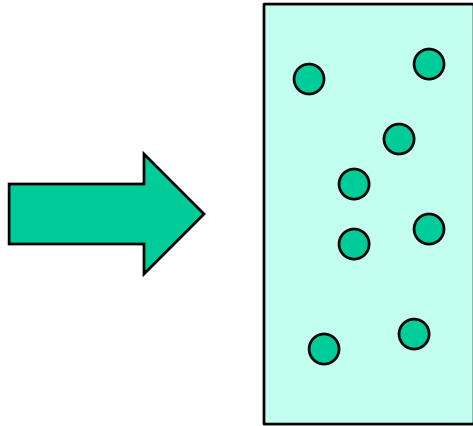


Учет спина нейтрона в теории многократного малоуглового рассеяния.

Д.В. Львов, Ф.С. Джеббаров

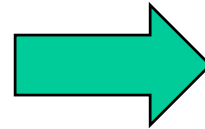
*ГНЦ РФ Институт теоретической и
экспериментальной физики, Москва*

Single scattering



$$l \ll l_c$$

Multiple scattering



$$l \gg l_c$$

Neutron free path

$$l_c = \frac{1}{c\sigma_t}$$

Born parameter

$$\nu = \frac{U_0}{2E} ka = \frac{U_0 a}{\hbar v}$$

Diffraction: $\nu \ll 1$, $\sigma_t = 2\pi a^2 \nu^2$ Refraction: $\nu \gg 1$, $\sigma_t = 2\pi a^2$

Multiple SANS. Moliere's formula.

Basic assumption: scatterers are uncorrelated.

For small angle scattering

$$\mathbf{q} \perp \mathbf{k}_0$$

scattering vector

wave vector of incident neutron

Let us introduce a vector

$$\boldsymbol{\theta} = \frac{\mathbf{k} - \mathbf{k}_0}{|\mathbf{k}_0|} \perp \mathbf{k}_0$$

The scattering problem is equivalent to diffusion in the plane of $\boldsymbol{\theta}$

In this case the MSANS theory remains analytical to the end!

Two equivalent approaches

Moliere – considering successive collisions

Bethe – solution of transport equation

The standard transport equation

$$\frac{dD(\mathbf{q}, l)}{dl} = -c\sigma_t \left(D(\mathbf{q}, l) - \int \frac{d^2q'}{k^2} \frac{\sigma(\mathbf{q} - \mathbf{q}')}{\sigma_t} D(\mathbf{q}', l) \right)$$

Diagram illustrating the components of the standard transport equation:

- total scattering cross section** points to σ_t .
- differential scattering cross section** points to $\frac{\sigma(\mathbf{q} - \mathbf{q}')}{\sigma_t}$.
- number of scatterers per cm³** points to c .
- probability to find a neutron** points to $D(\mathbf{q}, l)$.
- distance from the sample surface** points to l .

Equation is translationally invariant.

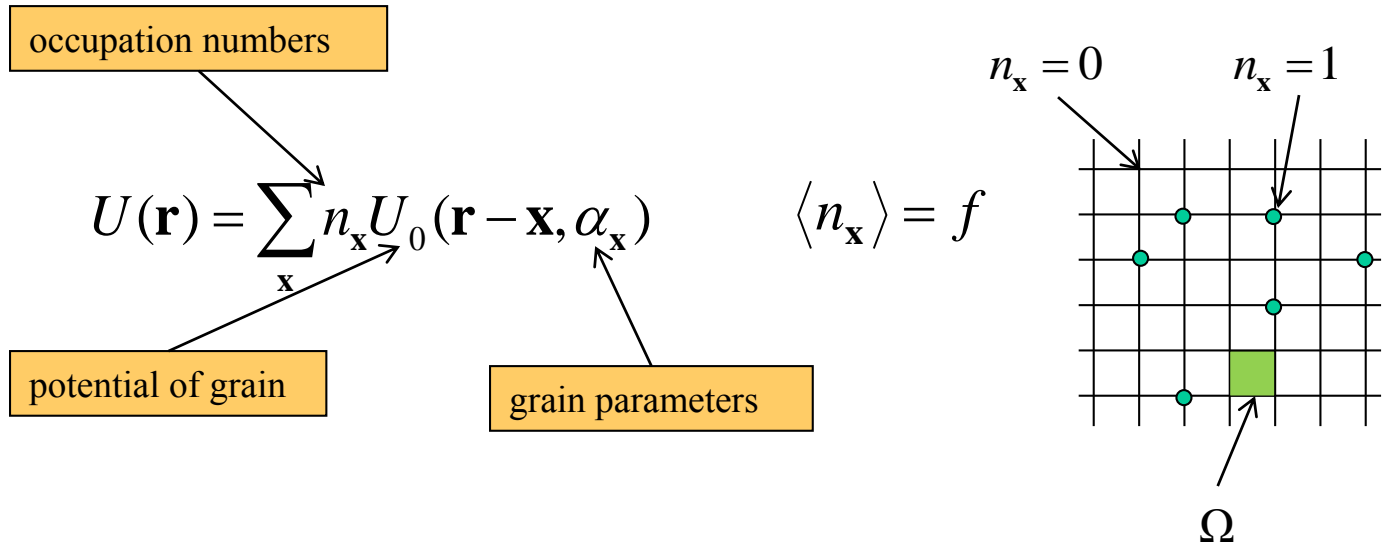
It can be solved by a Fourier transform.

$$D(\mathbf{q}, l) = \int d^2u \exp(i\mathbf{u}\mathbf{q}) \exp(-cl[\sigma(0) - \sigma(\mathbf{u})])$$

$$\sigma(\mathbf{u}) = \frac{1}{(2\pi)^2} \int \frac{d^2q}{k^2} \exp(-i\mathbf{u}\mathbf{q}) \sigma(\mathbf{q})$$

Correlation effects in small angle scattering

The neutron-optical potential of a medium through which neutrons propagate



In the continuum limit $f \rightarrow 0, \quad \Omega \rightarrow 0, \quad f / \Omega = c = \text{const}$

Correlations in the scatterers distribution

$$\Omega^{-2} \langle n_{\mathbf{x}} n_{\mathbf{y}} \rangle = C_2(\mathbf{x}, \mathbf{y}) \neq c^2$$

pair correlation function

Scattering in Born approximation – single scattering

Intensity of single SANS

Scattering amplitude on the sample

$$D_1(\mathbf{q}) = |f(\mathbf{q})|^2, \quad f(\mathbf{q}) = -\frac{m}{2\pi\hbar^2} \int d^3r e^{-i\mathbf{q}\mathbf{r}} \sum_{\mathbf{x}} n_{\mathbf{x}} U_0(\mathbf{r} - \mathbf{x})$$

Averaging over occupation numbers $n_{\mathbf{x}}$

At $q \geq 2\pi / D$ we obtain Zernike-Prins equation

$$D_1(q) = N |f(q)|^2 \left[1 + c \int_0^\infty 4\pi r^2 dr \frac{\sin qr}{qr} \varkappa(r) \right] = NP(q)S(q)$$

form factor
←
→
structure factor

$$\varkappa(\mathbf{x}) = \frac{C_2(\mathbf{x})}{c^2} - 1.$$

Scattering in eikonal approximation – multiple scattering

Scattering amplitude

impact parameter

$$f(\mathbf{q}) = \frac{k}{2\pi i} \int d^2\rho [S(\boldsymbol{\rho}) - 1] \exp(-i\mathbf{q}\boldsymbol{\rho}),$$

$$U(\mathbf{r}) = \sum_{\mathbf{x}} n_{\mathbf{x}} U_0(\mathbf{r} - \mathbf{x}, \alpha_{\mathbf{x}})$$

$$S(\boldsymbol{\rho}) = \exp\left(-i \int_{-\infty}^{\infty} \frac{dz}{\hbar v} U(\mathbf{r})\right), \quad \mathbf{r} = (\boldsymbol{\rho}, z)$$

neutron velocity

The normalized angular distribution of neutron momentum is studied

$$D(\mathbf{q}) = \Sigma(\mathbf{q}) / \Sigma_0, \quad \Sigma(\mathbf{q}) = |f(\mathbf{q})|^2, \quad \Sigma_0 = \int \Sigma(\mathbf{q}) d^2q / k^2.$$

The theoretical analysis can conveniently be carried out for the Fourier transform

$$D(\mathbf{u}) = \Sigma(\mathbf{u}) / \Sigma_0, \quad \Sigma(\mathbf{u}) = \int \frac{d^2q}{k^2} \exp(-i\mathbf{q}\mathbf{u}) \Sigma(\mathbf{q}), \quad \Sigma_0 = \Sigma(\mathbf{u} = \mathbf{0})$$

In the case of

a system with an uncorrelated random scatterer distribution,

the exact result can be obtained using the relationship

$$\left\langle \exp\left(\sum_{\mathbf{x}} n_{\mathbf{x}} R_{\mathbf{x}}\right) \right\rangle = \exp\left[c \int_V d^3x \left\langle e^{R_{\mathbf{x}}} - 1 \right\rangle_{\alpha} \right].$$

Averaging with the use of this formula gives

$$D(\mathbf{u}) = D_0(\mathbf{u}) = \exp\left(-cl(\sigma_0 - \sigma(\mathbf{u}))\right).$$

This equation coincides with the standard result of the Moliere theory.

For a high scatterer concentration the many-body distribution function cannot be factorized into a product of one-particle functions.

In the **presence of correlations** we expand $D(\mathbf{u})$ in powers of occupation numbers.

$$\begin{aligned} \exp\left(\sum_{\mathbf{x}} n_{\mathbf{x}} R_{\mathbf{x}}\right) &= \prod_{\mathbf{x}} [1 + n_{\mathbf{x}} (e^{R_{\mathbf{x}}} - 1)] = \\ &= 1 + \sum_{\mathbf{x}} n_{\mathbf{x}} (e^{R_{\mathbf{x}}} - 1) + \frac{1}{2} \sum_{\mathbf{x} \neq \mathbf{y}} n_{\mathbf{x}} n_{\mathbf{y}} (e^{R_{\mathbf{x}}} - 1)(e^{R_{\mathbf{y}}} - 1) + \dots \end{aligned} \quad (1)$$

Introducing $Q_{\mathbf{x}}(\mathbf{u}, \alpha) = \exp(R_{\mathbf{x}}(\mathbf{u}, \alpha)) - 1$ and averaging Eq.(1) term by term over the occupation numbers distribution, one obtains in the continuum limit

$$\begin{aligned} D(\mathbf{u}) &= D_0(\mathbf{u}) \exp\left(\frac{c^2}{2} \int d^3 x d^3 y \varkappa(\mathbf{x}, \mathbf{y}) \langle Q_{\mathbf{x}} Q_{\mathbf{y}} \rangle_{\alpha} + \right. \\ &\left. + \frac{c^2}{2} \int d^3 x d^3 y (\langle Q_{\mathbf{x}} Q_{\mathbf{y}} \rangle_{\alpha} - \langle Q_{\mathbf{x}} \rangle_{\alpha} \langle Q_{\mathbf{y}} \rangle_{\alpha}) + O(c^3)\right) \end{aligned}$$

$$\varkappa(\mathbf{x}) = \frac{C_2(\mathbf{x})}{c^2} - 1.$$

Monodisperse system of scatterers.

The scatterers are supposed to be identical spheres with radius a . Setting

$$U_0(\mathbf{r}, \alpha) = U_0 \mathcal{G}(r < a),$$

and taking into account that there is no internal variable α , one obtains

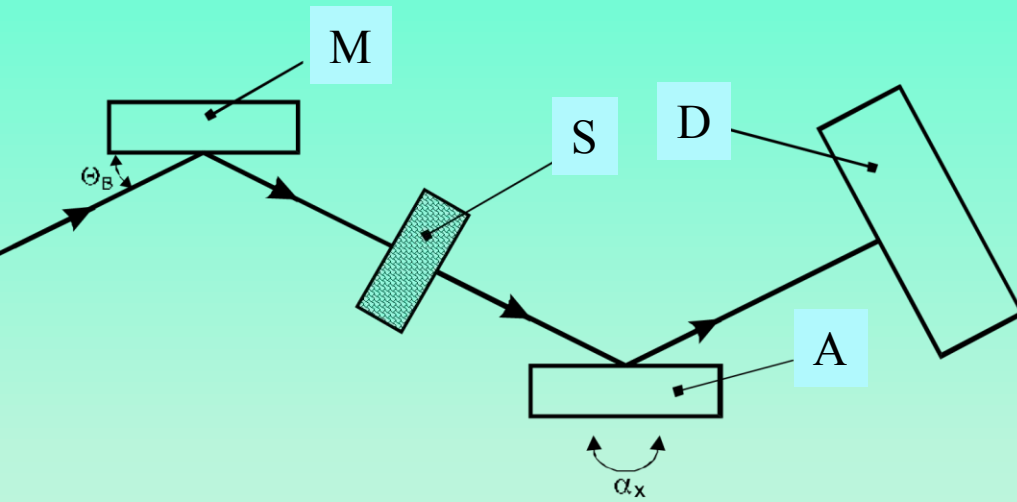
$$D(\mathbf{u}) = D_0(\mathbf{u}) \exp \left[\frac{c^2 l}{2} (K(\mathbf{u}) + O(c)) \right],$$

$$K(\mathbf{u}) = \int d^2 x \int d^2 y \kappa_0(|\mathbf{x} - \mathbf{y}|) Q_{\mathbf{x}}(\mathbf{u}) Q_{\mathbf{y}}(\mathbf{u}), \quad \kappa_0(x) = \int_{-\infty}^{\infty} dz \kappa(\sqrt{x^2 + z^2})$$

$$Q_{\mathbf{x}}(\mathbf{u}) = \exp \left[-i\varphi(\mathbf{x} - \mathbf{u} / 2) + i\varphi(\mathbf{x} + \mathbf{u} / 2) \right] - 1,$$

$$\varphi(x) = \frac{2U_0}{v} \sqrt{a^2 - x^2} \mathcal{G}(x < a).$$

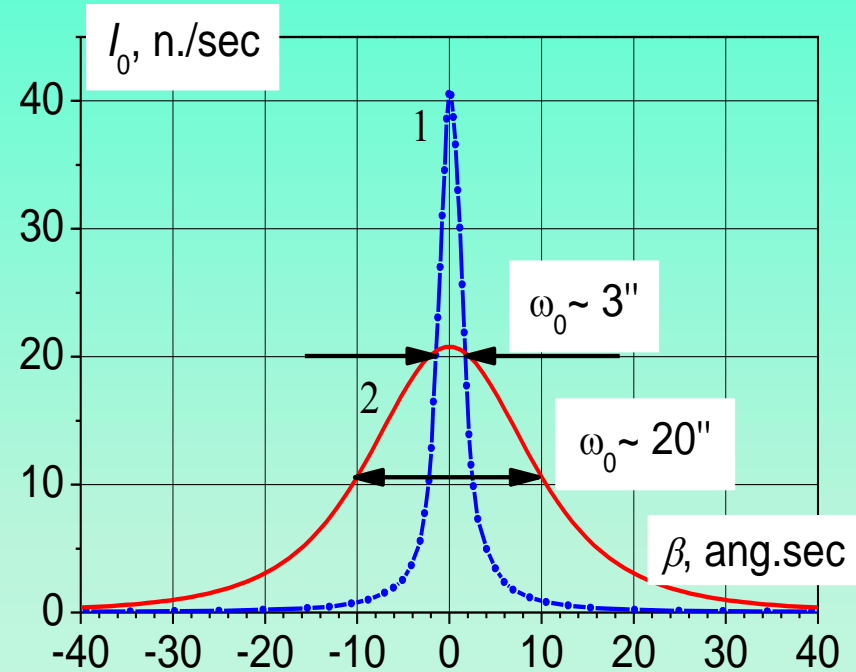
Double crystal diffractometer schematic.



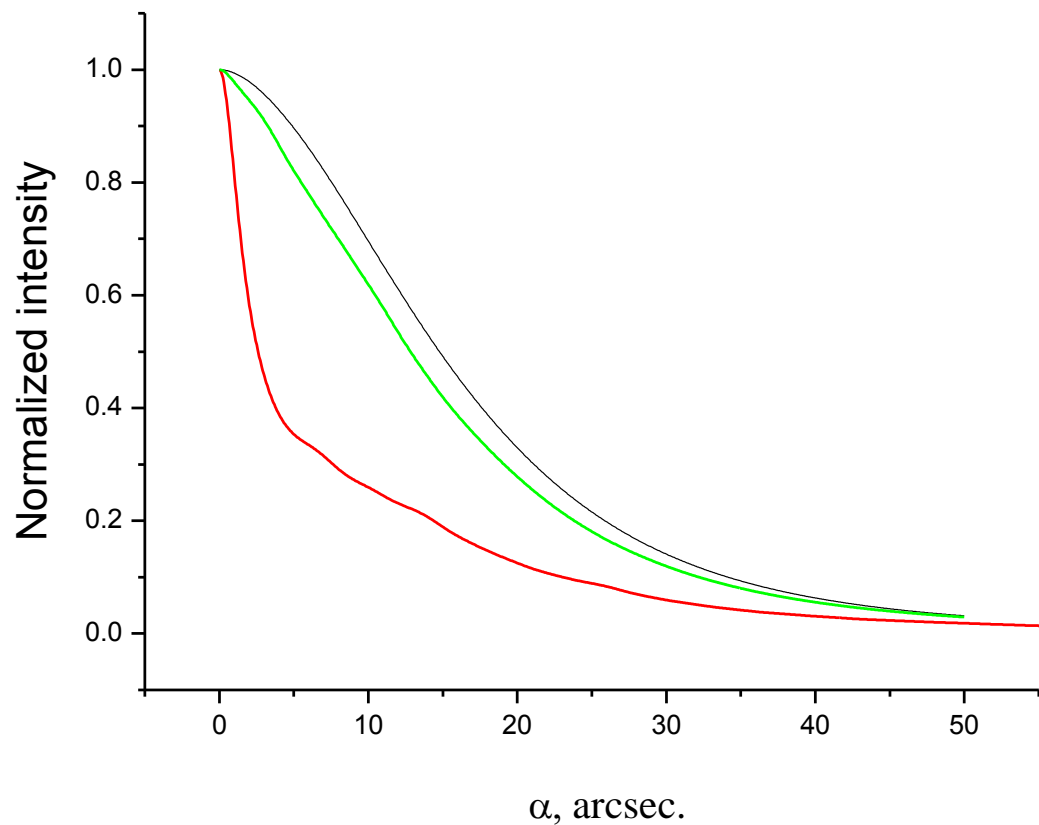
M and **A** are monochromator and analyzer crystals,
S is a sample and **D** is a detector.

α_x is an angle of rotation, θ_B is the Bragg angle.

Intensity of neutrons on the detector **D**
 is measured as a function of rotational
 angle α_x of the analyzer.



- 1) Instrumental line of DCD $I_{ins}(\beta)$
 at $\lambda = 1,75 \text{ \AA}$
- 2) becomes SANS curve when a sample is
 placed between crystals



Интенсивность многократного МУРН, измеряемая на двухкристальном дифрактометре. Кратность рассеяния $N = 10$, борновский параметр 0,3. Распределение рассеивателей по размерам лог-нормальное со средним радиусом 1 мкм и дисперсией 0,2 мкм². Черная линия – фактор заполнения 0,1. Зеленая - фактор заполнения 0,4. Красная - фактор заполнения 0,6.

Учет спина нейтрона

Потенциал Ферми взаимодействия нейтронов со средой

$$V(\mathbf{r}) = V_q(\mathbf{r}) + V_s(\mathbf{r}) = \sum_R n_R \sum_{\mathbf{x}} \theta(\mathbf{x} \in V_R) \frac{2\pi}{m} \delta(\mathbf{r} - \mathbf{x}) (b_{\mathbf{x}}^0 + b_{\mathbf{x}}^1 \mathbf{S}_{\mathbf{x}} \mathbf{I}),$$

V_q – не зависящая от спинов нейтрона и ядра часть взаимодействия

V_s – псевдомагнитное ядерное взаимодействие

$\mathbf{S}_{\mathbf{x}}$ – оператор спина ядра, расположенного в узле \mathbf{x}

\mathbf{I} – оператор спина нейтрона

Фурье-образ интенсивности рассеяния

$$\Sigma(\mathbf{u}, z) = \int d^2 \rho \langle U(\mathbf{r}, \mathbf{u}) \rho_0 U^+(\mathbf{r}, -\mathbf{u}) \rangle, \quad \mathbf{r} = (\boldsymbol{\rho}, z),$$

ρ_0 — начальная спиновая матрица плотности нейтронов и среды

Оператор эволюции U равен

$$U = U_q U_s, \quad U_q(\mathbf{r}, \mathbf{u}) = \exp\left(-\frac{i}{v} \int_{-\infty}^z V_q(\mathbf{r} - \mathbf{u} / 2) dz\right),$$

$$U_s(\mathbf{r}, \mathbf{u}) = \text{*Tex*}\exp\left(-\frac{i}{v} \int_{-\infty}^z V_s(\mathbf{r} - \mathbf{u} / 2) dz\right)$$

Для U_s пришлось ввести упорядочение вдоль траектории!

Усреднение интенсивности по спинам кристалла

При динамической поляризации ядер имеем

$$\langle \mathbf{S}_x \rangle = \mathbf{n}_z p / 2, \quad \langle \Delta S_x^\alpha \Delta S_y^\beta \rangle = \delta_{\alpha\beta} \delta_{xy} \kappa_\alpha,$$

$$\kappa_z = \frac{1}{4}(1 - p^2), \quad \kappa_x = \kappa_y = \frac{1}{4},$$

где p - поляризация ядер среды

Ацаркин В. А. "Динамическая поляризация ядер в твердых диэлектриках" УФН 126 3–39 (1978)

Для расчета фурье-образа интенсивности введем величину

$$F(\mathbf{u}, z) = U_s(\mathbf{r}, \mathbf{u}) \rho_0 U_s^+(\mathbf{r}, -\mathbf{u})$$

и запишем для нее дифференциальное уравнение

$$\frac{\partial F}{\partial t} = v \frac{\partial F}{\partial z} = -iLF$$

$$LF = V_s(\mathbf{r} - \mathbf{u} / 2)F - FV_s(\mathbf{r} + \mathbf{u} / 2).$$

Величина $\langle F \rangle$, являющаяся средним от F по спинам среды, удовлетворяет уравнению

$$\frac{\partial}{\partial t} \langle F \rangle = -i \langle L \rangle \langle F \rangle - M \langle F \rangle, \quad (*)$$

$$M \langle F \rangle = \int_0^{\infty} d\tau \langle \Delta L(\tau) \Delta L \rangle \langle F \rangle.$$

Здесь $t = 0$ соответствует моменту пересечения нейтроном входной поверхности образца.

Величину $\langle F \rangle$ удобно разложить по матрицам Паули

$$\langle F \rangle = \sum_{\mu=0}^3 g_{\mu} I_{\mu}, \quad I_0 = 1/2, \quad I_i = \sigma_i / 2,$$

где g_i - поляризация нейтрона вдоль i -ой оси.

Первый член в (*}), отвечающий среднему значению псевдомагнитного потенциала, равен

$$\langle L \rangle F_s = \frac{p}{2} \sum_R n_R \sum_{\mathbf{x}} \theta(\mathbf{x} \in V_R) (v_{\mathbf{x}}(\mathbf{r} - \mathbf{u} / 2) I_z F_s - v_{\mathbf{x}}(\mathbf{r} + \mathbf{u} / 2) F_s I_z)$$

$$v_{\mathbf{x}}(\mathbf{r}) = \frac{2\pi}{m} b_{\mathbf{x}}^1 \delta(\mathbf{r} - \mathbf{x})$$

Второй член в (*), содержащий флуктуации псевдомагнитного потенциала

$$M(\boldsymbol{\rho}, \mathbf{u}, z)F_s = \sum_R n_R \sum_{\mathbf{x}} \theta(\mathbf{x} \in V(R)) \times \\ \times \left\{ (W_{\mathbf{x}}(\boldsymbol{\rho} - \mathbf{u}/2, \boldsymbol{\rho} - \mathbf{u}/2) + W_{\mathbf{x}}(\boldsymbol{\rho} + \mathbf{u}/2, \boldsymbol{\rho} + \mathbf{u}/2)) 2Z_0 F_s - \right. \\ \left. - (W_{\mathbf{x}}(\boldsymbol{\rho} + \mathbf{u}/2, \boldsymbol{\rho} - \mathbf{u}/2) + W_{\mathbf{x}}(\boldsymbol{\rho} - \mathbf{u}/2, \boldsymbol{\rho} + \mathbf{u}/2)) \sum_{\mu=0}^3 g_{\mu} Z_{\mu} \right\}.$$

$$W_{\mathbf{x}}(\boldsymbol{\rho}_1, \boldsymbol{\rho}_2, z) = \int_0^{\infty} \frac{d\zeta}{v} v_{\mathbf{x}}(\boldsymbol{\rho}_1, z + \zeta) v_{\mathbf{x}}(\boldsymbol{\rho}_2, z)$$

$$Z_0 = \frac{1}{4}(\kappa_3 + 2\kappa_1)I_0 = \bar{Z}_0 I_0, \quad Z_1 = -\frac{\kappa_3}{4}I_1 = \bar{Z}_1 I_1,$$

$$Z_2 = -\frac{\kappa_3}{4}I_2 = \bar{Z}_2 I_2, \quad Z_3 = -\frac{1}{4}(\kappa_3 - 2\kappa_1)I_z = \bar{Z}_3 I_3.$$

Умножая уравнение (*) на последовательно I_0, I_1, I_2, I_3 и вычисляя след, получаем систему уравнений на поляризации

$$\frac{\partial g_0}{\partial t} = -iL_0 g_3 - \bar{Z}_0 (W_1 - W_2) g_0,$$

$$\frac{\partial g_3}{\partial t} = -iL_0 g_0 - (\bar{Z}_0 W_1 - \bar{Z}_z W_2) g_3,$$

$$\frac{\partial g_1}{\partial t} = -L_1 g_2 - (\bar{Z}_0 W_1 - \bar{Z}_x W_2) g_1,$$

$$\frac{\partial g_2}{\partial t} = L_1 g_1 - (\bar{Z}_0 W_1 - \bar{Z}_x W_2) g_2,$$

$$L_0 = \frac{p}{4} \sum_R n_R \sum_{\mathbf{x}} \theta(\mathbf{x} \in V_R) (v_{\mathbf{x}}(\mathbf{r} - \mathbf{u} / 2) - v_{\mathbf{x}}(\mathbf{r} + \mathbf{u} / 2))$$

$$L_1 = \frac{p}{4} \sum_R n_R \sum_{\mathbf{x}} \theta(\mathbf{x} \in V_R) (v_{\mathbf{x}}(\mathbf{r} - \mathbf{u} / 2) + v_{\mathbf{x}}(\mathbf{r} + \mathbf{u} / 2))$$

Опуская второе слагаемое, приводящее к деполяризации нейтрона, находим решение

$$g_1(t) + ig_2(t) = (g_1^0 + ig_2^0) \exp\left(i \int_0^t L_1(\tau) d\tau\right),$$

$$g_0(t) + g_3(t) = (g_0^0 + g_3^0) \exp\left(-i \int_0^t L_0(\tau) d\tau\right).$$

Пусть падающий на образец пучок нейтронов полностью поляризован вдоль оси OZ. Тогда

$$g_3^0 = 1, g_0^0 = g_1^0 = g_2^0 = 0.$$

$$g_0(t) = -i \sin\left(\int_0^t L_0(\tau) d\tau\right),$$

$$g_3(t) = \cos\left(\int_0^t L_0(\tau) d\tau\right).$$

Переходя от псевдомагнитного потенциала отдельных ядер к среднему потенциалу гранулы по правилу

$$\sum_{\mathbf{x}} \theta(\mathbf{x} \in V_R) v_{\mathbf{x}}(\mathbf{r}) \rightarrow U_p(\mathbf{r} - \mathbf{R})$$

Получаем фурье-образ интенсивности рассеяния

$$D(\mathbf{u}) = \left\langle \exp \left(\sum_{\mathbf{x}} n_{\mathbf{x}} \left(R_{\mathbf{x}} + \frac{p}{4} P_{\mathbf{x}} \right) \right) \left(I_3 + \frac{1}{2} \right) + \right. \\ \left. + \exp \left(\sum_{\mathbf{x}} n_{\mathbf{x}} \left(R_{\mathbf{x}} - \frac{p}{4} P_{\mathbf{x}} \right) \right) \left(I_3 - \frac{1}{2} \right) \right\rangle,$$

$$P_{\mathbf{x}}(\boldsymbol{\rho}, \mathbf{u}) = -i \int_0^{\infty} d\tau (U_p(\mathbf{r} - \mathbf{x} - \mathbf{u} / 2) - U_p(\mathbf{r} - \mathbf{x} + \mathbf{u} / 2)).$$

Выражение для $P_{\mathbf{x}}$ получается из выражения для $R_{\mathbf{x}}$ заменой среднего ядерного потенциала U_0 на средний псевдомагнитный ядерный потенциал U_p . Эффективный потенциал среды равен $U_0 \pm (p/4)U_p$, т.е. имеется возможность варьирования контраста.

Если пучок нейтронов поляризован вдоль оси OX, то

$$g_1^0 = 1, \quad g_0^0 = g_2^0 = g_3^0 = 0.$$

Зависимость поляризации от времени

$$g_1(t) = \cos\left(\int_0^t L_1(\tau) d\tau\right), \quad g_2(t) = \sin\left(\int_0^t L_1(\tau) d\tau\right).$$

Фурье-образ интенсивности рассеяния

$$D(\mathbf{u}) = \left\langle \exp\left(\sum_{\mathbf{x}} n_{\mathbf{x}} \left(R_{\mathbf{x}} + \frac{p}{4} S_{\mathbf{x}}\right)\right) \frac{1}{2} (I_1 + iI_2) + \right. \\ \left. + \exp\left(\sum_{\mathbf{x}} n_{\mathbf{x}} \left(R_{\mathbf{x}} - \frac{p}{4} S_{\mathbf{x}}\right)\right) \frac{1}{2} (I_1 - iI_2) \right\rangle,$$

$$S_{\mathbf{x}}(\boldsymbol{\rho}, \mathbf{u}) = -i \int_0^{\infty} d\tau (U_p(\mathbf{r} - \mathbf{x} - \mathbf{u}/2) + U_p(\mathbf{r} - \mathbf{x} + \mathbf{u}/2)).$$

Здесь $S_{\mathbf{x}}$ отвечает среднему псевдомагнитному полю гранул, а соответствующий оператор эволюции описывает вращение спина нейтрона вокруг оси OZ.

Заключение.

- Проведено обобщение теории многократного малоуглового рассеяния на случай рассеяния поляризованных нейтронов на поляризованных мишенях.
- Показано, что при учете спиновых эффектов общая структура теории остается прежней. Рассеяние нейтронов на отдельном рассеивающем центре определяется средней величиной псевдомагнитного ядерного поля, а флуктуации поля приводят к деполаризации нейтронов.
- Показано, что использование метода динамической поляризации для создания поляризованных мишеней, дает возможность варьирования контраста и увеличения информативности способности метода МУРН.

Intensity of unscattered neutrons

$$I = I_0 e^{-l/l_c} = I_0 e^{-lc\sigma_t} \longrightarrow I = I_0 e^{-lc\bar{I}_1(x=0)}$$

$$\bar{I}_1(x=0) = \sigma_t + c \int d^2r \sigma(\mathbf{r}) \chi_0(\mathbf{r}).$$

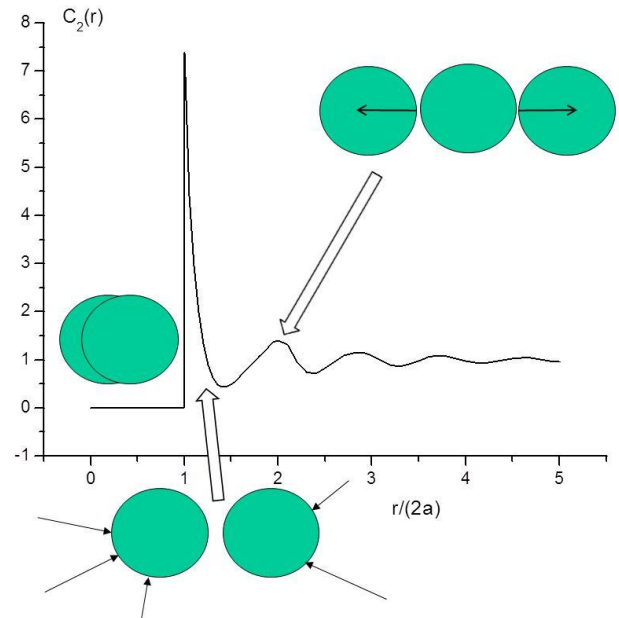
Defines integration domain

Negative in this domain

$$\int d^2r \sigma(\mathbf{r}) \chi_0(\mathbf{r}) < 0$$

$$\bar{I}_1(x=0) < \sigma_0$$

Pair correlation function of identical hard spheres.



Угловое распределение, измеренное на двухкристальном спектрометре:

$$I(q) = \int_{-\infty}^{\infty} dk D_0(q-k) I_0(k) = \frac{1}{\pi} \int_0^{\infty} dx \cos(qx) D(x,0) I_0(x)$$

где $I_0(x)$ - фурье-образ инструментальной линии $I_0(k)$

Данное распределение удобно представить в виде

$$D_0(q) = F_t \delta(q) + F_s(q) \quad I(q) = F_t I_0(q) + I_s(q)$$

$$F_t = \exp\left(-\frac{l}{l_c} \frac{\bar{I}_1(x=0)}{\sigma_t}\right)$$